Responsable : GÉNIAUT Samuel

Date : 16/07/2015 Page : 1/14 Clé : V3.04.315 Révision

2014968e71b1

# SSLV315 – Propagation non plane d'une fissure débouchante avec X-FEM

#### Résumé:

Le but de ce test est de comparer les méthodes de propagation SIMPLEXE, MAILLAGE, UPWIND et GEOMETRIQUE de l'opérateur PROPA FISS pour une fissure 3D sollicitée en mode mixte.

Responsable : GÉNIAUT Samuel

Date : 16/07/2015 Page : 2/14 Clé : V3.04.315 Révision

2014968e71b1

## 1 Problème de référence

### 1.1 Géométrie

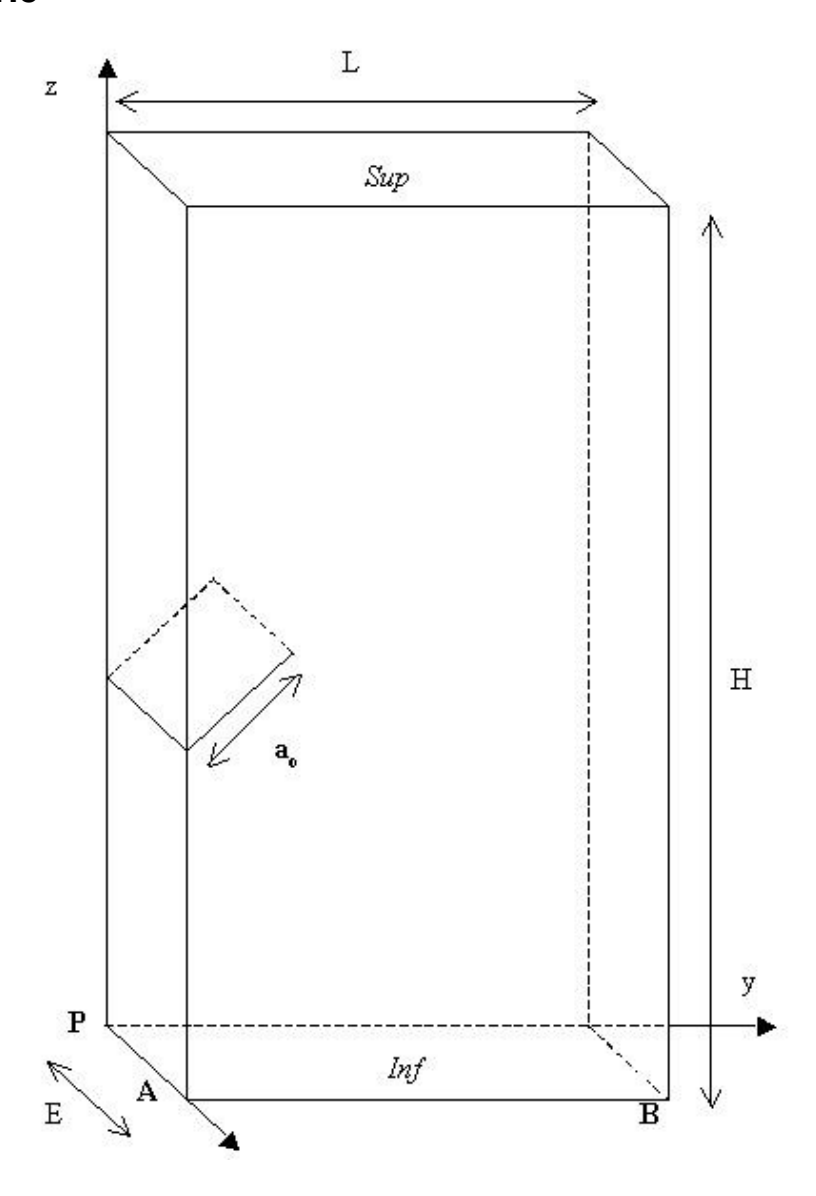


Figure 1.1-a: géométrie de la plaque fissurée

Dimensions géométriques de la plaque fissurée:

La fissure est initialement orientée à  $45^{\circ}$ , le front étant initialement positionné en (x, 2, 9).

Responsable : GÉNIAUT Samuel Clé : V3.04.315 Révision

2014968e71b1

Date: 16/07/2015 Page: 3/14

## 1.2 Propriétés du matériau

Module de Young E = 205000 MPaCoefficient de Poisson v = 0.3

Pour le cas des modélisations avec éléments cohésifs, les paramètres matériau sont :

Contrainte critique  $\sigma_c = 2MPa$ 

Ténacité énergétique  $G_c = 17.75 \, N.m^{-1}$ 

## 1.3 Conditions aux limites et chargements

Conditions aux limites:

Point  $P: \Delta X = \Delta Y = \Delta Z = 0$ 

Points sur le segment  $AB: \Delta X = \Delta Z = 0$ 

Points sur la surface  $INF: \Delta Z = 0$ 

Chargement:

Pression sur la surface SUP : P = -1 MPa

## 2 Solution de référence

Les résultats de la modélisation B (méthode Maillage) sont pris comme référence.

Pour les modélisations B, C, G et H, on vérifie la non régression du code par rapport à la position du fond de fissure.

Pour les modélisations A, D, E, F, I et J, on vérifie que les nœuds les plus proches de la trace du fond de fissure sur le plan (1,y,z) au dernier instant de propagation ont leur level-set très proches de zéro.

Instant de propagation	Nœud	Coordonnée $y_i$	Coordonnée $z_i$
	N219	3.14	9.00
	N1576	2.57	8.70
3	N1577	2.86	8.70
	N2636	2.57	9.30
	N2637	2.86	9.30

Ces nœuds sont ceux inclus dans un rayon de capture valant la plus grande arête d'un élément, centré sur la trace du fond de fissure sur le plan (1, x, y).

On identifie ces nœuds dans le fichier message ( . *mess* ) de la modélisation B et on estime la valeur de leurs level-sets dans les modélisations A, D, E, F, I et J.

Date: 16/07/2015 Page: 4/14 Responsable: GÉNIAUT Samuel Clé: V3.04.315 Révision

2014968e71b1

#### **Modélisation A** 3

#### 3.1 Caractéristiques de la modélisation

La méthode SIMPLEXE est utilisée par PROPA FISS.

#### Caractéristiques du maillage 3.2

La structure est modélisée par un maillage composé de 6720 éléments HEXA8 (voir Figure 3.2-a).

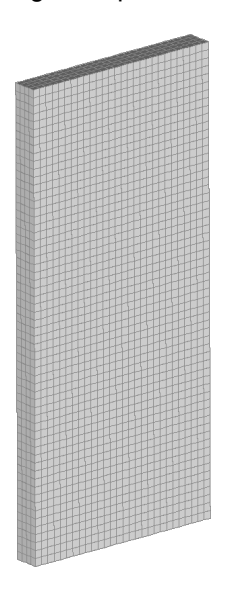


Figure 3.2-a: maillage de la structure

Le maillage n'est pas très raffiné pour réduire le temps de calcul. La taille des éléments est uniforme et égale à  $0.29 \times 0.33 \times 0.25 m$ .

#### 3.3 Grandeurs testées et résultats

On extrait la level set normale ( LSN ) et tangente ( LST ) en utilisant l'opérateur POST RELEVE T et on vérifie que les valeurs maximale et minimale restent comprises dans le cercle de capture des nœuds testés autour du front de fissure, soit 2/3 :

Propag. i	$Max LSN_i$	$Min  LSN_i$	$Max LST_i$	$Min \ LST_i$
3	0.233	0.40	0.33	0.28

Les résultats obtenus montrent bien que les level-sets restent inférieures au rayon dans lequel le front de fissure a été localisé. Cela signifie que le fond de fissure a été correctement localisé par la méthode SIMPLEXE.

Date: 16/07/2015 Page: 5/14 Responsable : GÉNIAUT Samuel Clé: V3.04.315 Révision

2014968e71b1

#### **Modélisation B** 4

#### Caractéristiques de la modélisation 4.1

La méthode MAILLAGE est utilisée par PROPA FISS. L'option CALC K G est utilisée par CALC G.

#### Caractéristiques du maillage 4.2

On utilise le même maillage que pour la modélisation A.

#### 4.3 Grandeurs testées et résultats

On teste, en non régression, la position du fond de fissure à la dernière itération de propagation.

Instant de propagation	Coordonnée $y_i$	Coordonnée $z_i$
3	2.8	9

Date: 16/07/2015 Page: 6/14 Responsable : GÉNIAUT Samuel Clé: V3.04.315 Révision

2014968e71b1

#### **Modélisation C** 5

#### 5.1 Caractéristiques de la modélisation

La méthode MAILLAGE est utilisée par PROPA FISS. L'option POST K1 K2 K3 est utilisée par CALC G.

#### 5.2 Caractéristiques du maillage

On utilise le même maillage que pour la modélisation A.

#### 5.3 Grandeurs testées et résultats

On teste, en non régression, la position du fond de fissure à la dernière itération de propagation.

Instant de propagation	Coordonnées $y_i$	Coordonnées $z_i$
3	2.8	9

Date: 16/07/2015 Page: 7/14 Responsable : GÉNIAUT Samuel Clé: V3.04.315 Révision

2014968e71b1

#### **Modélisation D** 6

#### 6.1 Caractéristiques de la modélisation

La méthode UPWIND sans grille auxiliaire est utilisée par PROPA FISS.

#### Caractéristiques du maillage 6.2

On utilise le même maillage que celui de la modélisation A.

#### Grandeurs testées et résultats 6.3

On extrait la level set normale ( LSN ) et tangente ( LST ) en utilisant l'opérateur POST RELEVE T et on vérifie que les valeurs maximale et minimale restent comprises dans le cercle de capture des nœuds testés autour du front de fissure, soit 2/3:

Propag.i	$Max LSN_i$	$MinLSN_i$	$Max LST_i$	$Min  LST_i$
3	0.216	-0.479	0.317	-0.307

Les résultats obtenus montrent bien que les level-sets restent inférieures au rayon dans lequel le front de fissure a été localisé. Cela signifie que le fond de fissure a été correctement localisé par la méthode UPWIND.

Date : 16/07/2015 Page : 8/14 Responsable: GÉNIAUT Samuel Clé: V3.04.315 Révision

2014968e71b1

#### **Modélisation E** 7

#### 7.1 Caractéristiques de la modélisation

La méthode GEOMETRIQUE est utilisée par PROPA FISS.

#### Caractéristiques du maillage 7.2

On utilise le même maillage que celui de la modélisation A.

#### Grandeurs testées et résultats 7.3

On extrait la level set normale ( LSN ) et tangente ( LST ) en utilisant l'opérateur POST RELEVE T et on vérifie que les valeurs maximale et minimale restent comprises dans le cercle de capture des nœuds testés autour du front de fissure, soit 2/3:

Propag. i	$Max LSN_i$	$Min\ LSN_i$	$Max LST_i$	$Min\ LST_i$
3	0.235	0.397	0.333	0.272

Les résultats obtenus montrent bien que les level-sets restent inférieures au rayon dans lequel le front de fissure a été localisé. Cela signifie que le fond de fissure a été correctement localisé par la méthode GEOMETRIQUE.

Date: 16/07/2015 Page: 9/14 Responsable: GÉNIAUT Samuel Révision Clé: V3.04.315

2014968e71b1

#### Modélisation G 8

#### 8.1 Caractéristiques de la modélisation

Le but de cette modélisation est de valider de façon globale l'ensemble de la procédure de propagation avec éléments cohésifs. La méthode GEOMETRIQUE est donc utilisée par PROPA FISS, alternativement avec les opérations DETEC COHESIF et PROPA COHESIF, pour actualiser respectivement la level-set tangente (et donc le front de propagation) et la level-set normale (et donc la surface de fissuration « possible »). L'angle de bifurcation est déterminé par CALC G, et les éléments cohésifs sont introduits dans le modèle par la commande DEFI CONTACT.

#### 8.2 Caractéristiques du maillage

On utilise un maillage non structuré, la fissure initiale étant maillée. Il comporte 16632 éléments de type TETRA4.

#### 8.3 Grandeurs testées et résultats

On effectue deux pas de propagation, puis on extrait la position du front de propagation au terme de cette opération. La validation consiste en un test de non-régression sur la position de ce front. Afin de réduire le nombre de tests, on teste les coordonnées Y et Z maximale et minimale le long du front.

Propag.i	Max(Y)	Min(Y)	Max(Z)	Min(Z)
2	3.14	3.05	9.04	9.03

Nous représentons en figure 8.3-a une vue de la déformée et du champ de contrainte au terme du second pas de propagation. La fissure tend à se redresser pour propager dans un plan.

Date: 16/07/2015 Page: 10/14 Responsable : GÉNIAUT Samuel Clé: V3.04.315 Révision

2014968e71b1

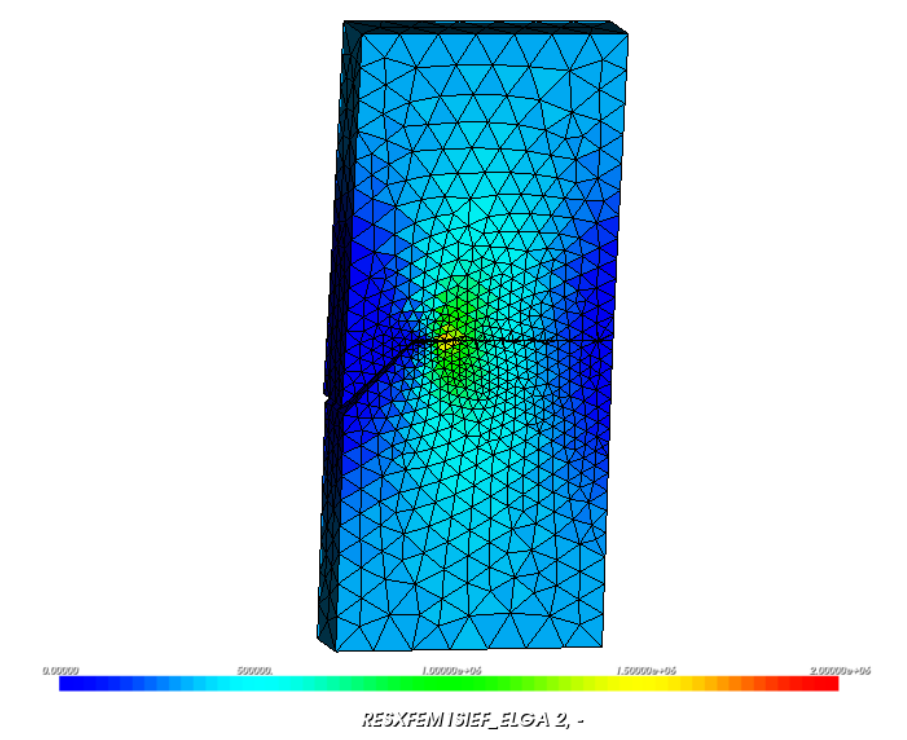


Figure 8.3-a: déformée et champ de contraintes

Date: 16/07/2015 Page: 11/14 Responsable: GÉNIAUT Samuel Clé: V3.04.315 Révision

2014968e71b1

#### Modélisation H 9

#### 9.1 Caractéristiques de la modélisation

Le but de cette modélisation est de valider de façon globale l'ensemble de la procédure de propagation avec éléments cohésifs. La méthode GEOMETRIQUE est donc utilisée par PROPA FISS, alternativement avec les opérations DETEC COHESIF et PROPA COHESIF, pour actualiser respectivement la level-set tangente (et donc le front de propagation) et la level-set normale (et donc la surface de fissuration « possible »).

#### 9.2 Caractéristiques du maillage

On utilise un maillage structuré, la fissure initiale étant maillée. Il comporte 2032 éléments de type PENTA6.

#### 9.3 Grandeurs testées et résultats

On effectue deux pas de propagation, puis on extrait la position du front de propagation au terme de cette opération. La validation consiste en un test de non-régression sur la position de ce front. Afin de réduire le nombre de tests, on teste les coordonnées Y et Z maximale et minimale le long du front.

Propag. i	Max(Y)	Min(Y)	Max(Z)	Min(Z)
2	3.14	3.14	8.96	8.96

Date: 16/07/2015 Page: 12/14 Responsable: GÉNIAUT Samuel Clé: V3.04.315 Révision

2014968e71b1

#### Modélisation I 10

#### 10.1 Caractéristiques de la modélisation

La méthode GEOMETRIQUE est utilisée par PROPA\_FISS, avec CRIT\_ANGL\_BIFURCATION = 'SITT\_MAX\_DEVER'. Les angles de branchement et déversement sont calculés en prenant en compte la valeur de KIII. La rotation de déversement est activée.

## 10.2 Caractéristiques du maillage

On utilise le même maillage que celui de la modélisation A.

#### 10.3 Grandeurs testées et résultats

On extrait la level set normale ( LSN ) et tangente ( LST ) en utilisant l'opérateur POST RELEVE T et on vérifie que les valeurs maximale et minimale restent comprises dans le cercle de capture des nœuds testés autour du front de fissure, soit 2/3 :

Propag. i	$Max LSN_i$	$Min LSN_i$	$Max LST_i$	Min LST <sub>i</sub>
3	0.237	0.397	0.317	0.274

Les résultats obtenus montrent bien que les level-sets restent inférieures au rayon dans lequel le front de fissure a été localisé. Cela signifie que le fond de fissure a été correctement localisé par la méthode GEOMETRIQUE avec prise en compte de KIII et de la rotation de déversement.

Date: 16/07/2015 Page: 13/14 Responsable: GÉNIAUT Samuel Révision Clé: V3.04.315

2014968e71b1

#### Modélisation J 11

#### 11.1 Caractéristiques de la modélisation

La méthode GEOMETRIQUE est utilisée par PROPA\_FISS, avec CRIT\_ANGL\_BIFURCATION = 'ANGLE\_IMPO\_GAMMA'. L'angle de branchement BETA est calculé en prenant en compte la valeur de KIII et l'angle de déversement GAMMA est forcé à zéro.

## 11.2 Caractéristiques du maillage

On utilise le même maillage que celui de la modélisation A.

#### 11.3 Grandeurs testées et résultats

On extrait la level set normale (LSN) et tangente (LST) en utilisant l'opérateur POST RELEVE T et on vérifie que les valeurs maximale et minimale restent comprises dans le cercle de capture des nœuds testés autour du front de fissure, soit 2/3:

Propag. i	$Max LSN_i$	$Min  LSN_i$	$Max LST_i$	Min LST i
3	0.237	0.397	0.317	0.274

Les résultats obtenus montrent bien que les level-sets restent inférieures au rayon dans lequel le front de fissure a été localisé. Cela signifie que le fond de fissure a été correctement localisé par la méthode GEOMETRIQUE avec prise en compte de KIII et rotation de déversement forcée à zéro.

Responsable : GÉNIAUT Samuel

Date : 16/07/2015 Page : 14/14 Clé : V3.04.315 Révision

2014968e71b1

## 12 Synthèse des résultats

Toutes les méthodes de propagation utilisées (SIMPLEXE, MAILLAGE, UPWIND ET GEOMETRIQUE) de l'opérateur PROPA\_FISS ont permis de bien calculer la position d'une fissure propageant en mode mixte dans une structure 3D.